

Смирнов Д. В., аспирант,
 Семикопенко И. А., канд. техн. наук, проф.,
 Воронов В. П., канд. физ.-мат. наук, проф.

Белгородский государственный технологический университет им. В.Г. Шухова

МАТЕМАТИЧЕСКОЕ ОПИСАНИЕ ДВИЖЕНИЯ ВЯЗКОЙ СРЕДЫ В ПАТРУБКЕ ВОЗВРАТА ДЕЗИНТЕГРАТОРА

olimp69@narod.ru

Дано математическое описание движения вязкой среды в патрубке возврата дезинтегратора в полярной системе координат. Определены проекции вектора скорости воздушного потока на оси полярной системы координат. Построены графические зависимости изменения начального значения u_0 скорости воздушной среды на входе в патрубок возврата в зависимости от изменения конструктивных параметров патрубка возврата.

Ключевые слова: вязкая среда, патрубок возврата, воздушный поток

Рассмотрим движение вязкой среды в предположении её постоянной вязкости и плотности.

На основании сделанного предположения движение воздуха в возвратном патрубке дезинтегратора можно описать в рамках хорошо известного уравнения Навье-Стокса:

$$\rho \frac{\partial \vec{u}}{\partial t} = -\text{grad}P + \mu \Delta \vec{u} + \rho \vec{g}, \quad (1)$$

где ρ - плотность воздуха; μ - динамическая вязкость воздуха; g - ускорение свободного

$$\rho \left(\frac{\partial u_r}{\partial t} + u_r \frac{\partial u_r}{\partial r} + \frac{u_\varphi}{r} \frac{\partial u_r}{\partial \varphi} - \frac{u_\varphi^2}{r} \right) = -\frac{\partial P}{\partial r} + \mu \left[\frac{\partial}{\partial r} \left(\frac{1}{r} \frac{\partial}{\partial r} (r u_r) \right) + \frac{1}{r^2} \frac{\partial^2 u_r}{\partial \varphi^2} - \frac{2}{r^2} \frac{\partial u_\varphi}{\partial \varphi} \right] + \rho g_r, \quad (2)$$

$$\rho \left(\frac{\partial u_\varphi}{\partial t} + u_r \frac{\partial u_\varphi}{\partial r} + \frac{u_\varphi}{r} \frac{\partial u_\varphi}{\partial \varphi} + \frac{u_r u_\varphi}{r} \right) = -\frac{1}{r} \frac{\partial P}{\partial \varphi} + \mu \left[\frac{\partial}{\partial r} \left(\frac{1}{r} \frac{\partial}{\partial r} (r u_\varphi) \right) + \frac{1}{r^2} \frac{\partial^2 u_\varphi}{\partial \varphi^2} - \frac{2}{r^2} \frac{\partial u_r}{\partial \varphi} \right] + \rho g_\varphi, \quad (3)$$

где u_r, u_φ - проекции вектора скорости воздушного потока на оси полярной системы координат; g_r, g_φ - проекции вектора свободного ускорения на оси полярной системы координат.

Для установившегося стационарного движения воздушной среды в возвратном патрубке с постоянным радиусом кривизны [1]

$$R = R_1 + d/2 \quad (4)$$

где d - диаметр патрубка.

Выделим в патрубке возврата некоторый объем воздушной среды ΔV . Выражение для

падения; \vec{u} - вектор скорости воздушного потока; P - давление внутри патрубка возврата; Δ - оператор Лапласа.

Для описания движения воздушной среды внутри патрубка возврата введем полярную систему координат r, φ с центром в точке «O» (рис. 1). При этом радиальная координата изменяется в пределах $R_1 \leq r \leq R_2$. Запишем проекции уравнения (1) на оси полярной системы координат:

$$P = P_{\text{дин}} + P_{\text{стат}}, \quad (5)$$

где $P_{\text{дин}}$ - динамическая составляющая давления, равная:

$$P_{\text{дин}} = \frac{\rho}{2} u_\varphi^2, \quad [2] \quad (6)$$

здесь u_φ - тангенциальная скорость движения воздушного потока в патрубке возврата,

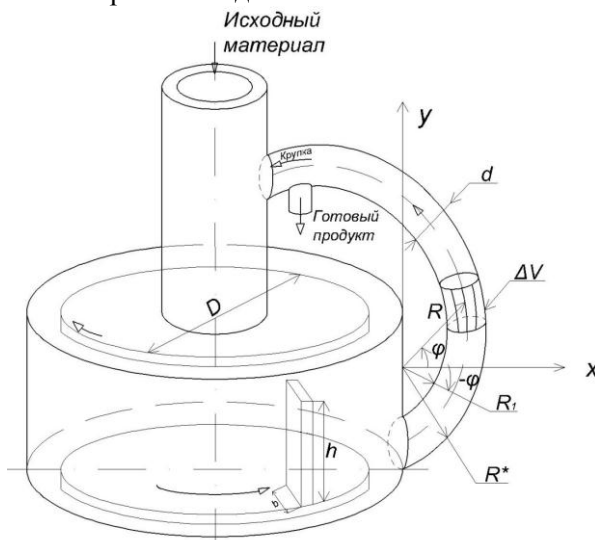


Рис. 1. Расчетная схема для описания движения воздушной среды в патрубке возврата дезинтегратора

$$P_{\text{стат}} = \rho g y, \quad (7)$$

где, согласно расчетной схемы на рисунке 1

$$y = R + R \sin \varphi = R(1 + \sin \varphi), \quad (8)$$

здесь угол φ – угол, отсчитываемый от положительного направления оси «ОХ».

С учетом (8) соотношение (7) принимает вид:

$$P_{\text{стат}} = \rho g R(1 + \sin \varphi). \quad (9)$$

С учетом (6) и (9) выражение (5) принимает вид:

$$\frac{\rho u_{\varphi}}{R} \frac{du_{\varphi}}{d\varphi} = -\frac{\rho}{R} u_{\varphi} \frac{du_{\varphi}}{d\varphi} - \frac{d}{d\varphi} (\rho g(1 + \sin \varphi)) + \frac{\mu}{R^2} \frac{d^2 u_{\varphi}}{d\varphi^2}. \quad (12)$$

После несложных математических преобразований (2.12) принимает следующий вид:

$$\frac{\rho}{R} \frac{d}{d\varphi} (u_{\varphi}^2) = -\frac{\rho}{R} \frac{d}{d\varphi} (u_{\varphi}^2) - 2\rho g \frac{d}{d\varphi} (1 + \sin \varphi) + \frac{2\mu}{R^2} \frac{d}{d\varphi} \left(\frac{du_{\varphi}}{d\varphi} \right). \quad (13)$$

Интегрирование (13) приводит к результату:

$$\frac{\rho}{R} u_{\varphi}^2 = -\frac{\rho}{R} u_{\varphi}^2 - 2\rho g(1 + \sin \varphi) + \frac{2\mu}{R^2} \frac{du_{\varphi}}{d\varphi} + c_1. \quad (14)$$

С учетом (11) выражение (14) будет иметь вид:

$$-\frac{\rho}{R} u_{\varphi}^2 - 2\rho g(1 + \sin \varphi) + c_1 = 0. \quad (15)$$

Постоянную интегрирования в (15) можно найти исходя из начального условия:

$$\varphi = -\frac{\pi}{2}, u_{\varphi} = u_0, \quad (16)$$

где u_0 – начальное значение скорости движения воздушного потока в начале патрубка возврата, которое с расходом воздуха Q в патрубке связано соотношением:

$$u_0 = \frac{4Q}{\pi d^2}, \quad (17)$$

здесь d – диаметр патрубка возврата, а согласно [3]

$$Q = \pi D b \sin \alpha \sqrt{\frac{2(\Delta p - \Delta p_m)}{\rho}}, \quad (18)$$

где D – наружный диаметр дисков дезинтегратора; b – ширина ударных элементов; α – угол между направлениями абсолютной и окружной скоростей, равный

$$\alpha = \arctg \frac{u_1}{u}, \quad (19)$$

здесь

$$u_0 \approx 2\omega \frac{D^2}{d^2} b \sin \alpha \sqrt{1 + \frac{4h}{D}} \approx 2\omega \frac{D^2}{d^2} b \sin \alpha \left(1 + \frac{2h}{D} \right). \quad (25)$$

Подстановка соотношений (19) – (23) в (25) позволяет получить выражение следующего вида:

$$u_0 = \frac{4\omega D b h \left(1 + \frac{2h}{D} \right) \sqrt{\frac{D}{h} - 1}}{d^2 \sqrt{\frac{h^2}{D^2} \left(\frac{D}{h} - 1 \right) + 1 + 4 \frac{h^2}{D^2} \left(\frac{D}{h} - 1 \right)}}. \quad (26)$$

$$u_0 \approx \frac{4\omega D b h \left(1 + \frac{2h}{D} \right) \sqrt{\frac{D}{h} - 1}}{d^2 \left(1 + 5 \frac{h}{D} \right)^{\frac{1}{2}}} = \frac{4\omega D b}{d^2} \sqrt{D h} \left(1 + \frac{2h}{D} \right) \left(1 - \frac{h}{D} \right)^{\frac{1}{2}} \left(1 + \frac{5h}{D} \right)^{-\frac{1}{2}} \approx$$

$$\approx \frac{4\omega D b}{d^2} \sqrt{D h} \left(1 + \frac{2h}{D} \right) \left(1 - \frac{h}{2D} \right) \left(1 - \frac{5h}{2D} \right) \approx \frac{4\omega D b}{d^2} \sqrt{D h} \left(1 + \frac{3h}{2D} \right) \left(1 - \frac{5h}{2D} \right) \approx \frac{4\omega D b}{d^2} \sqrt{D h} \left(1 - \frac{h}{D} \right) \quad (27)$$

$$P = \frac{\rho}{2} u_{\varphi}^2 + \rho g R(1 + \sin \varphi). \quad (10)$$

Пренебрегая массовыми силами и изменением скорости воздушного потока в радиальном направлении ($u_r = 0$), на основании сделанных предположений уравнениям (2) и (3) с учетом (10) можно придать вид:

$$\frac{\rho}{R} u_{\varphi}^2 = \frac{2\mu}{R^2} \frac{du_{\varphi}}{d\varphi}, \quad (11)$$

$$u_1 = \omega h \sqrt{\frac{D}{h} - 1}, \quad (20)$$

где h – высота ударных элементов; u_1 – скорость схода воздуха с ударных элементов внешнего ряда; ΔP_m – потери давления в системе,

$$u = \sqrt{u_1^2 + u_t^2}, \quad (21)$$

$$u_t = \frac{\omega D}{2}, \quad (22)$$

$$\Delta p = u^2 \frac{\rho}{2} [4] \quad (23)$$

Без учета потерь давления ($\Delta P_m = 0$) с учетом (18) – (23) выражение (17) можно привести к следующему виду:

$$u_0 = 4\omega \frac{D^2}{d^2} b \sin \alpha \sqrt{\frac{1}{4} + \frac{h}{D} - \frac{h^2}{D^2}}. \quad (24)$$

В силу того, что конструктивные параметры дезинтегратора могут варьироваться в следующих пределах $h = 0,05 \dots 0,1$ м; $D = 0,3 \dots 0,4$ м, отношение h/D можно считать малой величиной.

Следовательно, с точностью до величины первого порядка малости (24) принимает следующее значение:

Применив (16) к соотношению (15), получаем следующее выражение:

$$-\frac{\rho}{R} u_0^2 + c_1 = 0. \quad (28)$$

С учетом (28) и (15) принимает вид:

$$u_\varphi = \sqrt{u_0^2 - 2Rg(1 + \sin \varphi)}. \quad (29)$$

На рисунке 2 представлена зависимость изменения скорости воздушного потока в патрубке возврата дезинтегратора при

изменении углового размера, движущегося выделенного объема воздушной среды, выраженного в радианах. Анализ приведенных зависимостей показывает, что при изменении конструктивного параметра R в пределах от 0,1 до 0,2 м максимальное изменение скорости воздушного потока происходит соответственно в пределах 0,02...0,04 м/с.

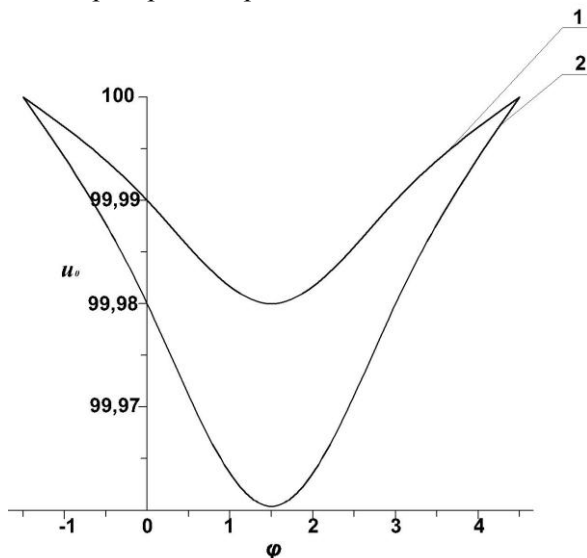


Рис. 2. График изменения скорости воздушной среды в патрубке возврата для начального значения скорости на входе $u_0=100$ м/с. 1-я кривая отвечает значению параметра $R = 0,1$ метра, а 2-я кривая – $R = 0,2$ метра

На рисунках 3...6 приведены графики изменения начального значения u_0 скорости воздушной среды на входе в патрубок возврата в зависимости от изменения конструктивных параметров патрубков возврата. Анализ полученных зависимостей показывает, что увеличение таких конструктивных параметров,

как наружный диаметр дисков в камере помола, высота и ширина ударных элементов способствуют увеличению скорости u_0 на входе в патрубок возврата, а увеличение диаметра патрубков возврата приводит к уменьшению величины начальной скорости воздушного потока на входе в патрубок возврата.

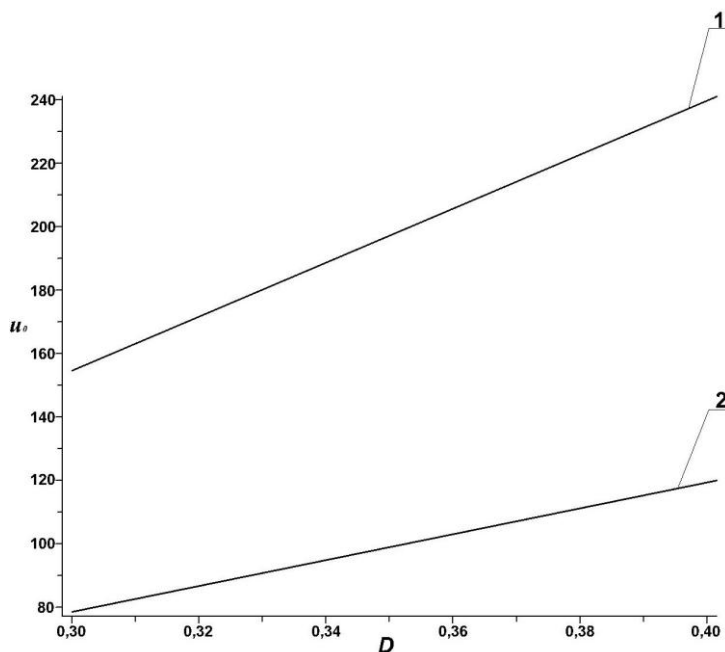


Рис. 3. График изменения начального значения u_0 скорости воздушной среды в патрубке возврата при изменении наружного диаметра диска. 1-я кривая отвечает значению частоты вращения дисков $\omega = 50$ 1/с, а 2-я кривая – $\omega = 25$ 1/с.

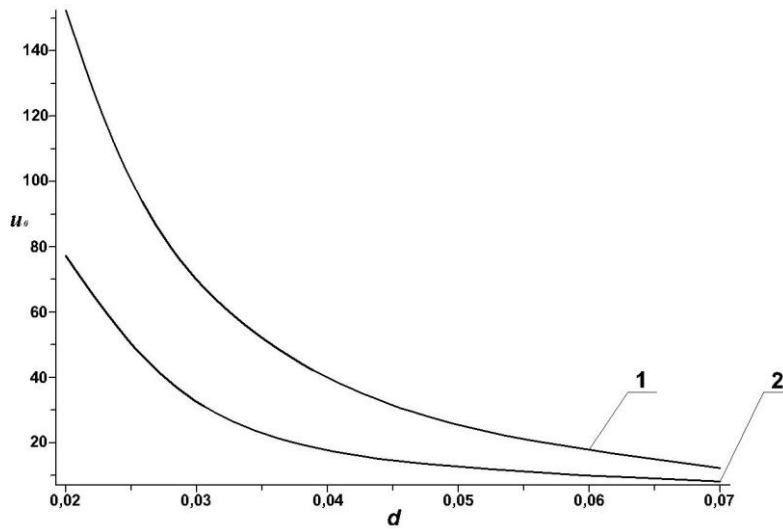


Рис. 4. График изменения начального значения u_0 скорости воздушной среды в патрубке возврата при изменении его диаметра. 1-я кривая отвечает значению частоте вращения дисков $\omega = 50$ 1/с, а 2-я кривая – $\omega = 25$ 1/с

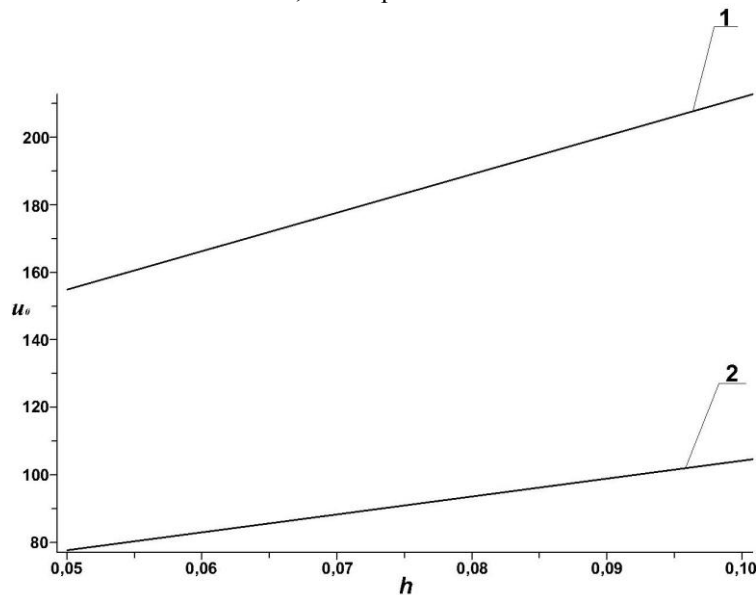


Рис. 5. График изменения начального значения u_0 скорости воздушной среды в патрубке возврата при изменении размера высоты ударных элементов. 1-я кривая отвечает значению частоте вращения дисков $\omega = 50$ 1/с, а 2-я кривая – $\omega = 25$ 1/с.

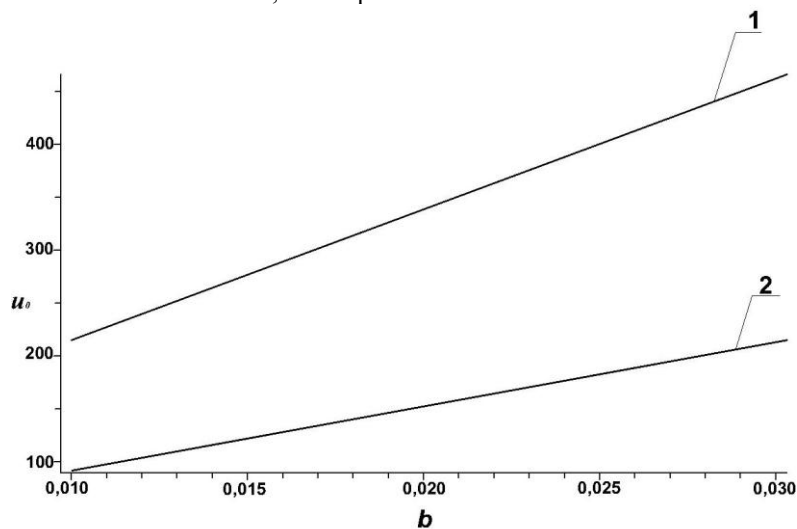


Рис. 6. График изменения начального значения u_0 скорости воздушной среды в патрубке возврата при изменении размера ширины ударных элементов. 1-я кривая отвечает значению частоте вращения дисков $\omega = 50$ 1/с, а 2-я кривая – $\omega = 25$ 1/с

БИБЛИОГРАФИЧЕСКИЙ СПИСОК

1. А.С. СССР № 1217465, МПК7 В02С 13/18, Центробежная мельница/М.В. Квашнин, Н.М. Смирнов, В.Н. Блиничев и др. Ивановский химико-технологический институт. Заявл. 14.11.1983; Оpubл. 15.03.1986, Бюл. №10.
2. Гримитлин А.М. Насосы, вентиляторы, компрессоры в инженерном оборудовании зданий/ А.М. Гримитлин, О.П. Иванов, В.А. Пухкал. СПб: Изд-во «АВОК Северо-Запад», 2006. 210с.
3. Поляков В.С. Насосы и вентиляторы /В.С. Поляков, Л.С. Скворцов. М.: Госстройиздат, 1990. 335с.
4. Воронов В.П., Семикопенко И.А., Пензев П.П. Дезинтегратор с внутренней классификацией измельчаемого материала. Вестник БГТУ им. В.Г. Шухова. №1. 2011. С.75-77.